

Li₄Ti₅O₁₂/(Cu+C)复合材料的制备及电化学性能

蒋志军¹ 刘开宇^{*1} 陈云扬¹ 苏 耿² 赵立姣¹

(¹ 中南大学化学化工学院, 长沙 410083)

(² 中南大学粉末冶金国家重点实验室, 长沙 410083)

摘要: 以 Li₄Ti₅O₁₂, Cu(CH₃COO)₂·H₂O 和 C₆H₁₂O₆ 为前驱体, 化学沉积与热分解结合合成锂离子电池负极材料 Li₄Ti₅O₁₂/(Cu+C)。采用 X-射线衍射(XRD)、扫描电子显微镜(SEM)、恒流充放电、循环伏安和电化学阻抗方法表征样品的结构、形貌和电化学性能。结果表明, Li₄Ti₅O₁₂ 表面包覆的 Cu 与 C 提高了 Li₄Ti₅O₁₂ 电极材料的导电率, 其循环性能和倍率性能得到有效地改善。在 0.5C、1C 和 3C 倍率下, 经过 50 次充放电循环, 放电比容量分别为 168.2、160、140.6 mAh·g⁻¹, 其容量保持率分别为 88.7%、84.4%、71.2%。电化学阻抗测试表明, 表面包覆的 Cu 与 C 使其电荷转移阻抗大幅度减少。

关键词: Li₄Ti₅O₁₂/(Cu+C); 锂离子电池; 表面包覆

中图分类号: 614.111; O614.47⁺¹; TM912.9 文献标识码: A 文章编号: 1001-4861(2011)02-0239-06

Synthesis and Electrochemical Performance of Li₄Ti₅O₁₂/(Cu+C) Composite Electrode Material

JIANG Zhi-Jun¹ LIU Kai-Yu^{*1} CHEN Yun-Yang¹ SU Geng² ZHAO Li-Jiao¹

(¹College of Chemistry & Chemical Engineering, Central South University, Changsha 410083, China)

(²State Key Laboratory of Powder Metallurgy, Central South University, Changsha 410083, China)

Abstract: Li₄Ti₅O₁₂/(Cu+C) composite as anode material for lithium-ion batteries was synthesized by chemical deposition combined with thermal decomposition of a mixture of Cu(CH₃COO)₂·H₂O, C₆H₁₂O₆ and Li₄Ti₅O₁₂. The structure, morphology and electrochemical performance of samples were characterized by X-ray diffractometry (XRD), scanning electron microscopy (SEM), galvanostatic charge-discharge test, cyclic voltammeter (CV) and electrochemical impedance spectroscopy (EIS). The results showed that surface coating of Cu and C on Li₄Ti₅O₁₂ particle improved its electronic conductivity and therefore enhanced the performance of the circulation and rate capability. The discharge capacity of the composite were 168.2, 160 and 140.6 mAh·g⁻¹ at 0.5C, 1C and 3C rate after 50 cycles, and the corresponding capacity retention were 88.7%, 84.4% and 71.2%, respectively. EIS test proved that surface coating of Cu and C on Li₄Ti₅O₁₂ particle could decrease its charge transfer resistance greatly.

Key words: Li₄Ti₅O₁₂/(Cu+C); Li-ion batteries; surface coating

尖晶石钛酸锂(Li₄Ti₅O₁₂)作为锂离子电池负极材料以其独特的性能吸引了众多研究者^[1-5]。Li₄Ti₅O₁₂的理论嵌锂电位较正(1.55 V, vs Li/Li⁺), 这可以避免 SEI 膜及锂枝晶的生成^[6]; 在充放电时, 伴随锂离子的脱出和嵌入, 晶体结构保持高度的稳定性, 体积

变化小于 1%, 被称为“零应变”材料^[7]; 这些特性使得 Li₄Ti₅O₁₂ 具有更好电化学性能和安全性。与目前商品化的碳材料如石墨、中间相碳微球(MCMB)等相比, Li₄Ti₅O₁₂ 更适合作为动力型锂离子电池负极材料^[8]。

收稿日期: 2010-06-27。收修改稿日期: 2010-10-29。

国家自然科学基金(No.21071153; 20976198), 湖南省科技计划重点项目(No.2008GK2008), 中南大学研究生学位论文创新基金(No.1114-713360010)资助。

*通讯联系人。E-mail:kaiyuli@263.net, Tel: 13548590751

然而, $\text{Li}_4\text{Ti}_5\text{O}_{12}$ 是一种绝缘体材料(电导率小于 $10^{-13} \text{ S}\cdot\text{cm}^{-1}$)^[9], 导致其大电流倍率性能差。为提高材料的电子导电性, 人们进行了大量的研究^[10-15], 目前研究主要集中在掺杂^[16-19]和表面修饰^[20-23]。Ji 等^[18]采用金属 Mg 对 $\text{Li}_4\text{Ti}_5\text{O}_{12}$ 进行掺杂; Huang 等^[20]在 $\text{Li}_4\text{Ti}_5\text{O}_{12}$ 颗粒表面化学沉积一层铜, 合成出了 $\text{Li}_4\text{Ti}_5\text{O}_{12}/\text{Cu}$ 复合材料, 都在很大程度上提高了 $\text{Li}_4\text{Ti}_5\text{O}_{12}$ 的倍率性能。最近, Wang 等^[21]在 TiO_2 颗粒表面包覆一层聚苯胺做为前驱体, 固相合成了 $\text{Li}_4\text{Ti}_5\text{O}_{12}/\text{C}$ 复合材料; 王蔚等^[22]以 $\text{Li}_4\text{Ti}_5\text{O}_{12}/\text{C}$ 为前驱体, 与 AgNO_3 混合煅烧合成了 $\text{Li}_4\text{Ti}_5\text{O}_{12}/(\text{Ag}+\text{C})$ 复合材料, 都使其电化学性能获得了很大改善, 也为这类材料的包覆手段提供了新的思路。

本文以 $\text{Li}_4\text{Ti}_5\text{O}_{12}$, $\text{Cu}(\text{CH}_3\text{COO})_2\cdot\text{H}_2\text{O}$ 和 $\text{C}_6\text{H}_{12}\text{O}_6$ 为前驱体, 化学沉积与热分解法相结合成功制备了 $\text{Li}_4\text{Ti}_5\text{O}_{12}/(\text{Cu}+\text{C})$ 复合材料, 采用 XRD 和 SEM 对材料进行了表征, 并研究了包覆材料对 $\text{Li}_4\text{Ti}_5\text{O}_{12}$ 材料电化学性能的影响。

1 实验部分

1.1 材料的制备

所使用的化学药品均为分析纯。按化学计量比准确称取锐钛型 TiO_2 粉末和 Li_2CO_3 (考虑到高温下锂的挥发, 使锂源过量 5wt%)粉末, 以乙醇为分散剂, 装入玛瑙罐中进行球磨混料 20 h 后 80 °C 干燥 12 h, 取出用刚玉舟盛放入管式炉进行煅烧。在空气气氛中, 先以 $5 \text{ }^{\circ}\text{C}\cdot\text{min}^{-1}$ 升温到 750 °C 恒温预烧 4 h, 再以 $5 \text{ }^{\circ}\text{C}\cdot\text{min}^{-1}$ 升温到 850 °C 恒温 20 h, 反应完成后随炉冷却至室温。取出样品研细放入干燥器备用, 所得样品为白色粉末。

按照 $\text{Li}_4\text{Ti}_5\text{O}_{12}$ 与 Cu 质量比为 99:1 的比例, 分别称取上述合成的 4 g $\text{Li}_4\text{Ti}_5\text{O}_{12}$ 和 0.127 g $\text{Cu}(\text{CH}_3\text{COO})_2\cdot\text{H}_2\text{O}$, 先用 50 mL 的去离子水溶解 $\text{Cu}(\text{CH}_3\text{COO})_2\cdot\text{H}_2\text{O}$, 在电磁搅拌下倒入称量好的 $\text{Li}_4\text{Ti}_5\text{O}_{12}$, 再加入 2 g $\text{C}_6\text{H}_{12}\text{O}_6$, 恒温 70 °C, 继续搅拌 8 h 后冷却静置, 倒去上层清液, 120 °C 干燥 12 h 后即得前驱体。前驱体在 400 °C 的氩气中煅烧 4 h 得到 $\text{Li}_4\text{Ti}_5\text{O}_{12}/(\text{Cu}+\text{C})$ 复合材料。

1.2 材料的物相表征

采用 Simens D-500X 射线衍射仪进行 XRD 测试。Cu 靶 $K\alpha_1$ 线, 石墨单色器, 电压为 36 kV, 电流为 30 mA, 扫描范围 $2\theta=10^{\circ}\sim80^{\circ}$, 扫描速度为 $4^{\circ}\cdot\text{min}^{-1}$, 波长 $\lambda=0.15406 \text{ nm}$ 。采用 JSM-6610 扫描电镜

(管电压 30 kV)对样品形貌进行观察。

1.3 电极制备

以 N-甲基-2-吡咯烷酮(NMP)为溶剂, 按 80:10:10 的质量比分别称取自制的粉体、导电剂乙炔黑、粘接剂聚偏氟乙烯(PVDF), 制成浆料后在铝箔上涂片, 120 °C 下真空干燥 12 h, 将涂好的电极片用冲子冲出直径 10 mm 的圆片, 制成工作电极。

1.4 材料的电化学性能测试

以所制备的电极为正极, 金属锂(纯度 >99.9%, 天津中能锂业有限公司)为对电极, 微孔聚丙烯膜(celgard2400)为隔膜, $1 \text{ mol}\cdot\text{L}^{-1}$ LiPF_6 的碳酸乙烯酯(EC)/碳酸二甲酯(DMC)($V_{\text{EC}}:V_{\text{DMC}}=1:1$)溶液(深圳新宙邦科技股份有限公司), 在干燥、充满氩气的手套箱中组装成 CR2025 型纽扣电池。

采用 Land 电池测试系统(武汉金诺电子公司)进行恒流充放电测试, 充放电截止电压分别为 2.5 和 0.8 V。采用 PARSTAT2273 型电化学综合测试系统(美国 Princeton 公司)进行循环伏安和电化学阻抗测试, EIS 频率范围为 10 mHz~100 kHz, 振幅为 5 mV; 所有测试均在 298 K 下进行。

2 结果与讨论

2.1 材料的物理表征

2.1.1 材料的 XRD 分析

图 1 分别给出了 $\text{Li}_4\text{Ti}_5\text{O}_{12}$ 和 $\text{Li}_4\text{Ti}_5\text{O}_{12}/(\text{Cu}+\text{C})$ 试样的 XRD 图, 从图中可以看出, 试样 $\text{Li}_4\text{Ti}_5\text{O}_{12}$ 和 $\text{Li}_4\text{Ti}_5\text{O}_{12}/(\text{Cu}+\text{C})$ 的衍射峰与 JCPDS 卡片(No.26-1198)衍射峰吻合, 表现为 $2\theta=8.37^{\circ}, 35.60^{\circ}, 43.27^{\circ}, 47.38^{\circ}, 57.23^{\circ}, 62.86^{\circ}, 66.09^{\circ}$ 时出现的几个强的特征峰, 说明产物的主相均是具有尖晶石结构的 $\text{Li}_4\text{Ti}_5\text{O}_{12}$, 此外, 从图上看不到标识碳的衍射峰, 这是由于碳含量较少的缘故; 考虑到试样 $\text{Li}_4\text{Ti}_5\text{O}_{12}/(\text{Cu}+\text{C})$ 是在氩气气氛中合成的, 且煅烧的温度较低,

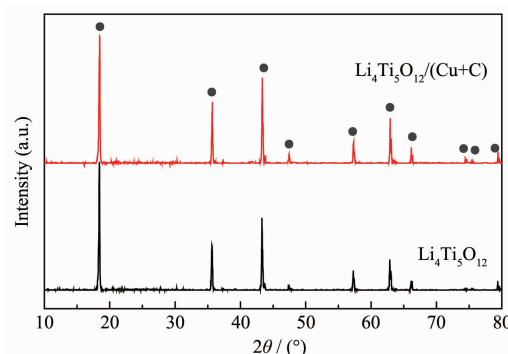


图 1 $\text{Li}_4\text{Ti}_5\text{O}_{12}$ 和 $\text{Li}_4\text{Ti}_5\text{O}_{12}/(\text{Cu}+\text{C})$ 的 XRD 图

Fig.1 XRD patterns of $\text{Li}_4\text{Ti}_5\text{O}_{12}$ and $\text{Li}_4\text{Ti}_5\text{O}_{12}/(\text{Cu}+\text{C})$

但XRD图(b)中没有观察到Cu单质的特征峰,这是由于Cu单质的特征峰与那些Li₄Ti₅O₁₂的特征峰叠加及其含量很低^[13]。

2.1.2 材料的形貌分析

图2是Li₄Ti₅O₁₂和Li₄Ti₅O₁₂/(Cu+C)试样的扫描

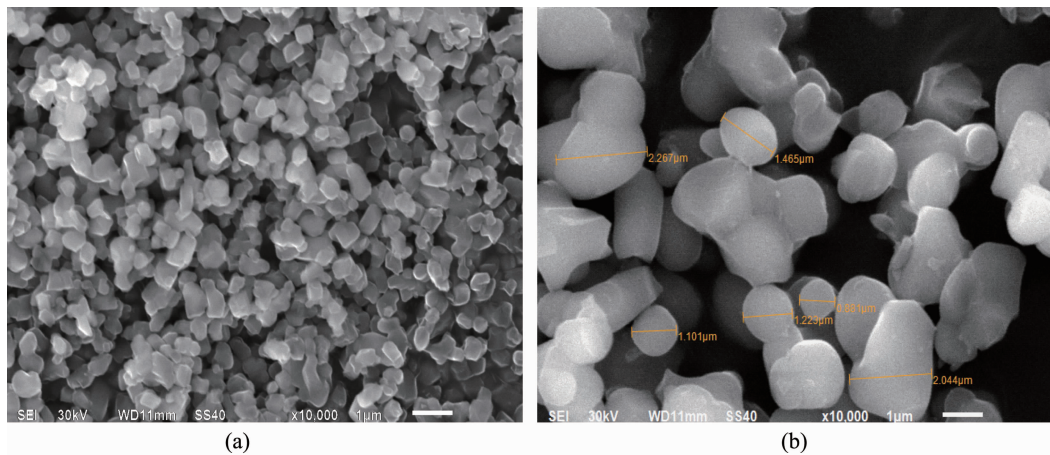


图2 (a) Li₄Ti₅O₁₂ 和(b) Li₄Ti₅O₁₂/(Cu+C)的 SEM 图

Fig.2 SEM images of (a) Li₄Ti₅O₁₂ and (b) Li₄Ti₅O₁₂/(Cu+C)

2.2 电化学性能表征

2.2.1 恒流充放电测试

图3是Li₄Ti₅O₁₂粉末和Li₄Ti₅O₁₂/(Cu+C)复合材料的纽扣电池在2.5~0.8 V电压范围内,0.1 C倍率下的首次充放电曲线。从图我们可知两种材料的放电曲线都在1.55 V左右都有一个非常明显的平台,对应于电极活性物质正常的可逆反应^[24],即电极活性物质由尖晶石型Li₄₃Ti₅₃O₄转化为岩盐型Li₇₃Ti₅₃O₄。此外,Li₄Ti₅O₁₂/(Cu+C)复合材料的放电曲线平台较长,其首次放电比容量为189.6 mAh·g⁻¹,而未包覆

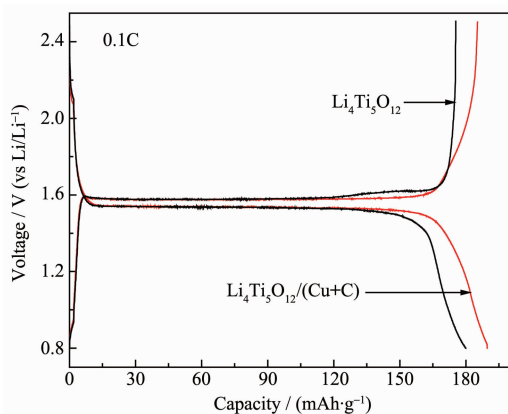
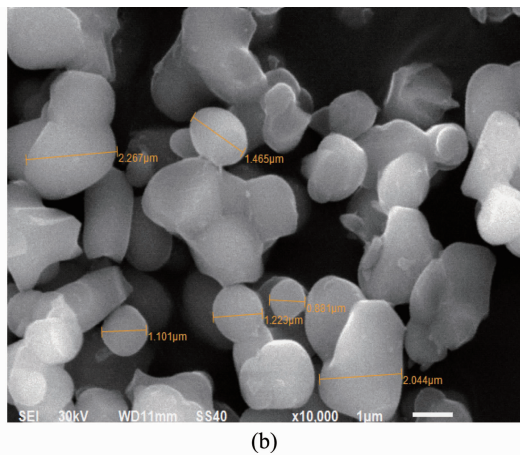


图3 Li₄Ti₅O₁₂ 和 Li₄Ti₅O₁₂/(Cu+C) 在 0.1C 倍率下的首次充放电曲线

Fig.3 Initial discharge-charge curves of Li₄Ti₅O₁₂ and Li₄Ti₅O₁₂/(Cu+C) at 0.1C rate

电镜图。从图上可以看出,Li₄Ti₅O₁₂由形貌单一的粒子组成,颗粒大小一致,分散性较好,平均粒径为0.5 μm,而Li₄Ti₅O₁₂/(Cu+C)颗粒粒径稍有增长,颗粒菱角较为光滑,粉末颗粒之间有一定程度的团聚,粒径在0.5~2.5 μm之间。



Li₄Ti₅O₁₂电极材料的首次放电比容量为179.9 mAh·g⁻¹。这主要归因于Li₄Ti₅O₁₂/(Cu+C)颗粒表面的导电物质Cu和C,Cu与C的存在有利于增加颗粒之间电子的传导速率而从而提高材料电导率,进而减小材料电极极化程度,提高活性物质的脱/嵌锂深度。

图4为Li₄Ti₅O₁₂和Li₄Ti₅O₁₂/(Cu+C)在0.5C、1C和3C倍率下的循环放电容量曲线。由图4分析可得,随着放电倍率的增加,Li₄Ti₅O₁₂的放电比容量由0.5C的165.7 mAh·g⁻¹降低到3C的92.2 mAh·g⁻¹,保持率为55.6%;而Li₄Ti₅O₁₂/(Cu+C)的放电比容量由0.5C的173.7 mAh·g⁻¹降低到3C的140.6 mAh·g⁻¹,保持率为80.9%;同时,Li₄Ti₅O₁₂/(Cu+C)电极材料在0.5C、1C和3C倍率下循环50次后,容量保持率分别为88.7%、84.4%及71.2%,其放电比容量分别为168.2、160、140.6 mAh·g⁻¹,较Li₄Ti₅O₁₂的放电比容量分别提高了8.6、23.6、47.4 mAh·g⁻¹。可见,包覆材料中的导电物质Cu与C使Li₄Ti₅O₁₂的倍率性能和循环性能得到了很大的提高,表明Cu与C的包覆改善了Li₄Ti₅O₁₂材料的电化学性能,减少了电池的极化作用。

从改善Li₄Ti₅O₁₂电化学性能角度出发,提高材料的电导率可以改善Li₄Ti₅O₁₂的充放电性能,Wang等^[20]已证实,碳表面包覆Li₄Ti₅O₁₂可以形成导电网络,进而提高材料的导电率;另外,Huang等^[20]通过

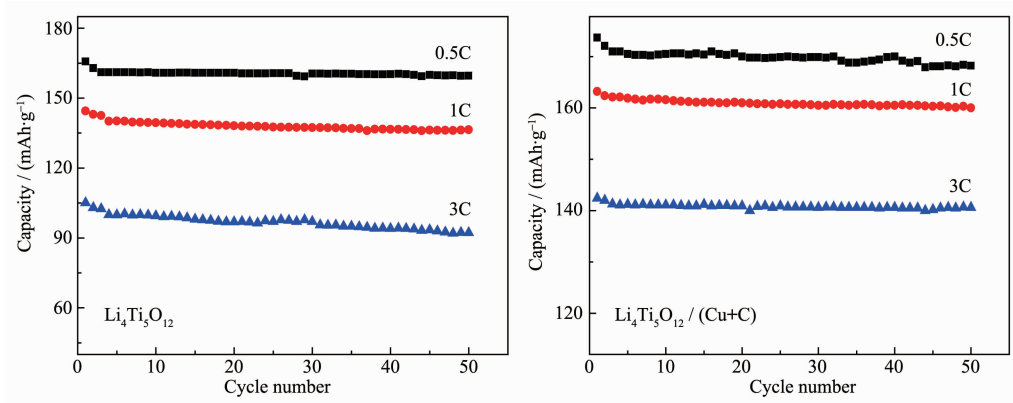


图 4 $\text{Li}_4\text{Ti}_5\text{O}_{12}$ 和 $\text{Li}_4\text{Ti}_5\text{O}_{12}/(\text{Cu}+\text{C})$ 在不同倍率下的循环性能曲线
Fig.4 Cycle performance of $\text{Li}_4\text{Ti}_5\text{O}_{12}$ and $\text{Li}_4\text{Ti}_5\text{O}_{12}/(\text{Cu}+\text{C})$ at 0.5C, 1C and 3C rate

电镀法在 $\text{Li}_4\text{Ti}_5\text{O}_{12}$ 颗粒材料表面镀上一层铜，显著改善了材料的倍率性能，本文在 $\text{Li}_4\text{Ti}_5\text{O}_{12}$ 颗粒表面同时包覆 Cu 与 C，也提高了材料的倍率性能，且合成工艺较为简单可控。

2.2.2 循环伏安测试

图 5 为 $\text{Li}_4\text{Ti}_5\text{O}_{12}$ 和 $\text{Li}_4\text{Ti}_5\text{O}_{12}/(\text{Cu}+\text{C})$ 的循环伏安图。扫描速度为 $0.6 \text{ mV}\cdot\text{s}^{-1}$ ，电位范围为 $2.5\sim0.8 \text{ V}$ 。从图中可以看出，在 1.4 和 1.7 V 附近出现了一对明显的还原/氧化峰，对应锂离子在正极 $\text{Li}_4\text{Ti}_5\text{O}_{12}$ 中的嵌入和脱嵌，即纽扣电池的放电和充电过程；此外，试样 $\text{Li}_4\text{Ti}_5\text{O}_{12}/(\text{Cu}+\text{C})$ 的峰电位差 ΔE_p 较 $\text{Li}_4\text{Ti}_5\text{O}_{12}$ 的小，峰面积明显增大，表明 Cu 与 C 的共同包覆增加了 $\text{Li}_4\text{Ti}_5\text{O}_{12}$ 的整体电导率，使 $\text{Li}_4\text{Ti}_5\text{O}_{12}$ 电化学反应的极化程度减小，从而改善其可逆性。这与前述的充放电测试结果相一致。

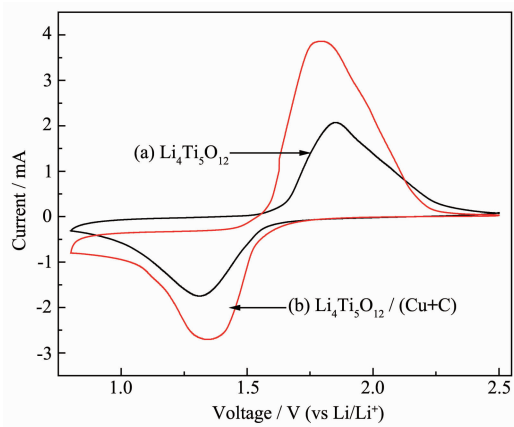


图 5 $\text{Li}_4\text{Ti}_5\text{O}_{12}$ 和 $\text{Li}_4\text{Ti}_5\text{O}_{12}/(\text{Cu}+\text{C})$ 在扫描速度为 $0.6 \text{ mV}\cdot\text{s}^{-1}$ 的循环伏安曲线

Fig.5 CV curves of $\text{Li}_4\text{Ti}_5\text{O}_{12}$ and $\text{Li}_4\text{Ti}_5\text{O}_{12}/(\text{Cu}+\text{C})$ at scanning rate of $0.6 \text{ mV}\cdot\text{s}^{-1}$

图 6 考察了试样 $\text{Li}_4\text{Ti}_5\text{O}_{12}$ 和 $\text{Li}_4\text{Ti}_5\text{O}_{12}/(\text{Cu}+\text{C})$ 在不同扫速下的循环伏安特性。由图可见，在该电极

中，随着扫描速率的增大，峰电位差 ΔE_p 也随之变大，同时峰电流也增大，氧化峰和还原峰电位分别向正、负方向偏移，表明电化学极化随扫描速率增加而增大。从图 6 还可以看出，电极的电化学反应都不是完全可逆反应，因为氧化/还原峰电位差 ΔE_p 都大于 59 mV 。但从图形表现上看，氧化峰、还原峰

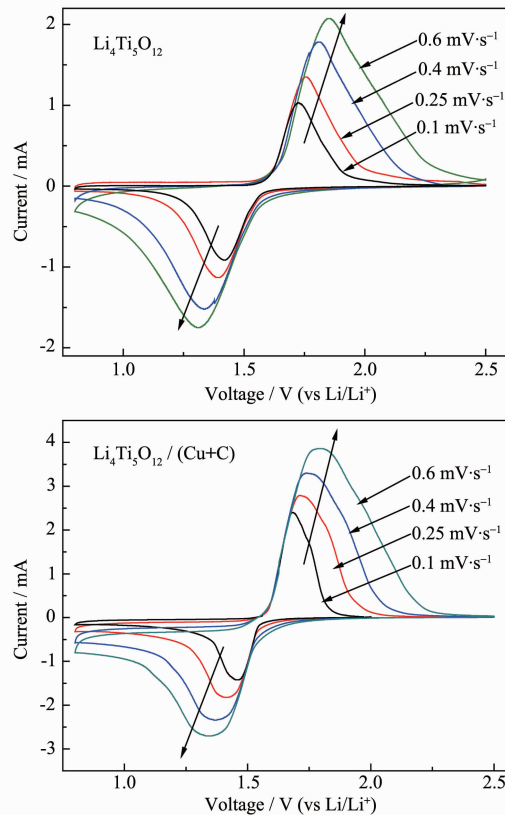


图 6 $\text{Li}_4\text{Ti}_5\text{O}_{12}$ 和 $\text{Li}_4\text{Ti}_5\text{O}_{12}/(\text{Cu}+\text{C})$ 在不同扫描速度下的循环伏安曲线

Fig.6 CV curves of $\text{Li}_4\text{Ti}_5\text{O}_{12}$ and $\text{Li}_4\text{Ti}_5\text{O}_{12}/(\text{Cu}+\text{C})$ at different scanning rates of $0.1, 0.25, 0.4$ and $0.6 \text{ mV}\cdot\text{s}^{-1}$

2个峰形状比较对称,也不是完全不可逆的。对氧化峰峰值电流*i_p*与扫描速率*v*的方根之比作图,如图7所示。可以看出,峰值电流随扫描速率*v*的增大而增大。因此,Li₄Ti₅O₁₂和Li₄Ti₅O₁₂/(Cu+C)材料电极的电化学反应都属于准可逆过程。

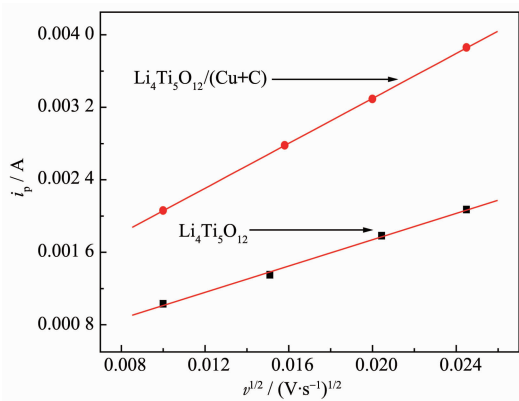


图7 Li₄Ti₅O₁₂和Li₄Ti₅O₁₂/(Cu+C)电极氧化峰值电流与扫描速度的方根之比

Fig.7 Anodic peak current for Li₄Ti₅O₁₂ and Li₄Ti₅O₁₂/(Cu+C) electrode of i_p vs $v^{1/2}$ of scan rate

对于准可逆体系,峰电流和扫速平方根有^[25]:

$$i_p = 0.4958nFA C_0 D_0^{1/2} v^{1/2} \left(\frac{\alpha n_a F}{RT} \right)^{1/2} \quad (1)$$

$T=298$ K时,

$$i_p = 2.99 \times 10^5 n (\alpha n_a)^{1/2} A C_0 D_0^{1/2} v^{1/2} \quad (2)$$

其中, i_p 为电位扫描峰值电流(A); $n=1$, A 为电极面积(cm^2), C_0 为锂离子嵌出前后离子浓度差($\text{mol} \cdot \text{cm}^{-3}$),在Li_{4/3}Ti_{5/3}O₄中每个晶胞中有8个锂离子,晶胞体积为 $5.843 \times 10^{-22} \text{ cm}^3$,则晶胞中锂离子的浓度为 $C=0.02274 \text{ mol} \cdot \text{cm}^{-3}$,循环电位在1.5 V左右Li_{4/3}Ti_{5/3}O₄中嵌入一个锂离子形成Li_{7/3}Ti_{5/3}O₄,而晶胞体积基本不变^[26],得 $C_1=0.04548 \text{ mol} \cdot \text{cm}^{-3}$,而Li_{4/3}Ti_{5/3}O₄与Li_{7/3}Ti_{5/3}O₄相互间是可逆的^[24],因此 $C_0=0.02274 \text{ mol} \cdot \text{cm}^{-3}$; v 为峰电位扫描速率($\text{V} \cdot \text{s}^{-1}$), D_0 为反应的扩散系数, α 为电子转移系数, n_a 为速率决定步骤中的电子转移数。

若 αn_a 等于0.5,对*i_p*和*v^{1/2}*进行线性拟合,相应数值代入式(2),由此可得Li₄Ti₅O₁₂和Li₄Ti₅O₁₂/(Cu+C)材料电极的锂离子扩散系数*D₀*分别为 4.3×10^{-10} 、 $1.2 \times 10^{-9} \text{ cm}^2 \cdot \text{s}^{-1}$,与Li₄Ti₅O₁₂相比,Li₄Ti₅O₁₂/(Cu+C)材料电极的*D₀*有所提高,表明Li₄Ti₅O₁₂颗粒表面的包覆材料Cu与C并没有阻碍锂离子的迁移。

2.2.3 电化学阻抗测试

图8是各试样组装成纽扣电池在0.1C倍率下循环3次后测试的交流阻抗谱,测试的开路电压为

1.54 V。从图8及其内嵌图可以观察到,电化学阻抗谱图由高、中频区的一个半圆弧和低频区接近45°的一条直线组成。可以明显看出,两种材料在同一电压范围具有相似的阻抗特征。高、中频区的半圆弧对应于电荷转移阻抗和电极/溶液界面的双电层电容;它与横轴 Z' 的交点表示的是溶液的本体电阻;低频区接近45°的直线代表Warburg阻抗,这是由Li⁺在电极材料中的扩散引起的^[27]。从图中可以清楚的看到,试样Li₄Ti₅O₁₂/(Cu+C)的半圆弧远小于未包覆的,说明Cu与C的包覆可以大幅度减小Li₄Ti₅O₁₂材料的电荷转移阻抗,即降低电极反应过程的阻力。结合充放电测试结果,由此看出,Cu与C的包覆可提高材料Li₄Ti₅O₁₂的导电率,最终改善材料Li₄Ti₅O₁₂的电化学性能。

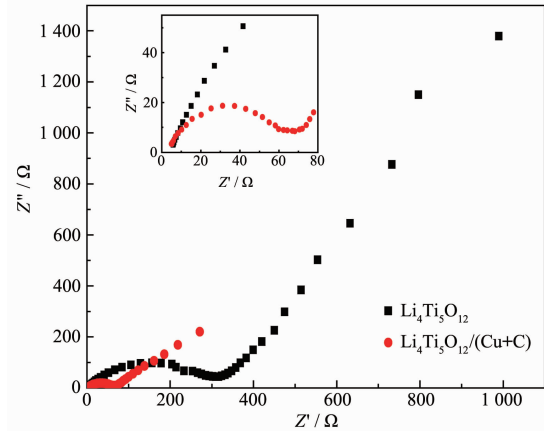


图8 Li₄Ti₅O₁₂和Li₄Ti₅O₁₂/(Cu+C)电极的电化学阻抗谱图

Fig.8 EIS of Li₄Ti₅O₁₂ and Li₄Ti₅O₁₂/(Cu+C) electrodes

3 结 论

以Li₄Ti₅O₁₂, Cu(CH₃COO)₂·H₂O 和 C₆H₁₂O₆为前驱体,采用化学沉积与热分解相结合的方法,制备了Li₄Ti₅O₁₂/(Cu+C)复合材料。恒电流充放电结果表明,Li₄Ti₅O₁₂/(Cu+C)复合电极材料具有更好的循环性能和倍率性能,在0.5C、1C及3C倍率下,经过50次充放电循环,容量保持率分别为88.7%、84.4%及71.2%,其放电比容量分别为168.2、160、140.6 mAh·g⁻¹,较Li₄Ti₅O₁₂的放电比容量分别提高了8.6、23.6、47.4 mAh·g⁻¹。电化学阻抗结果表明,Li₄Ti₅O₁₂/(Cu+C)复合材料具有较低的电荷转移阻抗。

参考文献:

- [1] Ohzuku T, Ueda A, Yamamoto N, et al. *J. Power Sources*, 1995, 54(1):99-102

- [2] Panero S, Reale P, Ronci F, Scrisati B, et al. *Phys. Chem. Chem. Phys.*, **2001**, *3*(5):845-847
- [3] Ouyang C Y, Zhong Z Y, Lei M S. *Electrochim. Commun.*, **2007**, *9*(1):1107-1112
- [4] Shu J. *J. Solid State Electrochem.*, **2009**, *13*(10):1535-1539
- [5] Tao Y, Rui C, Ke W, et al. *Ceram. Int.*, **2009**, *35*(5):1757-1768
- [6] Prosini P P, Mancini R, Petrucci L, et al. *Solid State Ionics*, **2001**, *144*(1/2):185-192
- [7] Wang D, Xu H Y, Gu M, et al. *Electrochim. Commun.*, **2009**, *11*(1):50-53
- [8] Yao X L, Xie S, Chen C H, et al. *Electrochimica Acta*, **2005**, *50*(20):4076-4081
- [9] Chen C H, Vaughey J T, Jansen A N, et al. *J. Electrochem. Soc.*, **2001**, *148*(1):A102-A104
- [10] Huang S H, Wen Z Y, Zhu X J, et al. *J. Electrochem. Soc.*, **2005**, *152*(7):A1301-A1305
- [11] HE Ze-Qiang(何则强), LIU Wen-Ping(刘文萍), XIONG Li-Zhi(熊利芝), et al. *Chinese J. Inorg. Chem. (Wuji Huaxue Xuebao)*, **2007**, *23*(4):733-737
- [12] SU Yue-Feng(苏岳峰), WU Feng(吴峰), ZANG Ge(臧戈), et al. *Chinese J. Acta Phys.-Chim. Sin. (Wuli Huaxue Xuebao)*, **2008**, *24*(6):1002-1006
- [13] DU Chen-shu(杜晨树), YANG Hua-bin(杨化滨), ZHOU Zuo-Xiang(周作祥), et al. *Chin. J. Electrochem. (Dian Huaxue)*, **2008**, *14*(3):238-242
- [14] Tang Y F, Yang L, Qiu Z, et al. *J. Mater. Chem.*, **2009**, *19*(33):5980-5984
- [15] Kang X H, Utsunomiya H, Achiha T, et al. *J. Electrochem. Soc.*, **2010**, *157*(4):A437-A442
- [16] Qi Y L, Huang Y D, Jia D Z, et al. *Electrochimica Acta*, **2009**, *54*(21):4772-4776
- [17] Capsoni D, Bini M, Massarotti V, et al. *J. Phys. Chem. C*, **2009**, *113*(45):19664-19671
- [18] Ji S Z, Zhang J Y, Wang W W, et al. *Mater. Chem. Phys.*, **2010**, *123*(2/3):510-515
- [19] LI Xing(李星), QU Mei-Zhen(瞿关臻), YU Zuo-Long(于作龙). *Chinese J. Inorg. Chem. (Wuji Huaxue Xuebao)*, **2010**, *26*(2):233-239
- [20] Huang S H, Wen Z Y, Lin B, et al. *J. Alloys Compd.*, **2008**, *457*(1/2):400-403
- [21] Wang Y G, Liu H M, Wang K X, et al. *J. Chem. Mater.*, **2009**, *19*(37):6789-6795
- [22] WANG Wei(王蔚), CAO Gao-Shao(曹高劭), YE Jing-Ya(叶静雅), et al. *Chinese J. Inorg. Chem. (Wuji Huaxue Xuebao)*, **2009**, *25*(12):2151-2155
- [23] Cai R, Yu X, Liu X Q, et al. *J. Power Sources*, **2010**, *195*(24):8244-8250
- [24] Shen L F, Yuan C Z, Luo H J, et al. *J. Mater. Chem.*, **2010**, *20*(33):6998-7004
- [25] Milne N A, Maria S K, Luca V. *J. Phys. Chem. C*, **2009**, *113*(30):12983-12995
- [26] Ohzuku T, Ueda A, Yamamoto N. *J. Electrochem. Soc.*, **1995**, *142*(5):1431-1435
- [27] Huang J J, Jiang Z Y. *Electrochimica Acta*, **2008**, *53*(26):7756-7759